



QFL5931/MPT6009 – Química Verde

Fluidos Supercríticos — Aula 3

Prof. Dr. Leandro H. Andrade (leandroh@iq.usp.br)

Prof. Dr. Reinaldo C. Bazito (bazito@iq.usp.br)

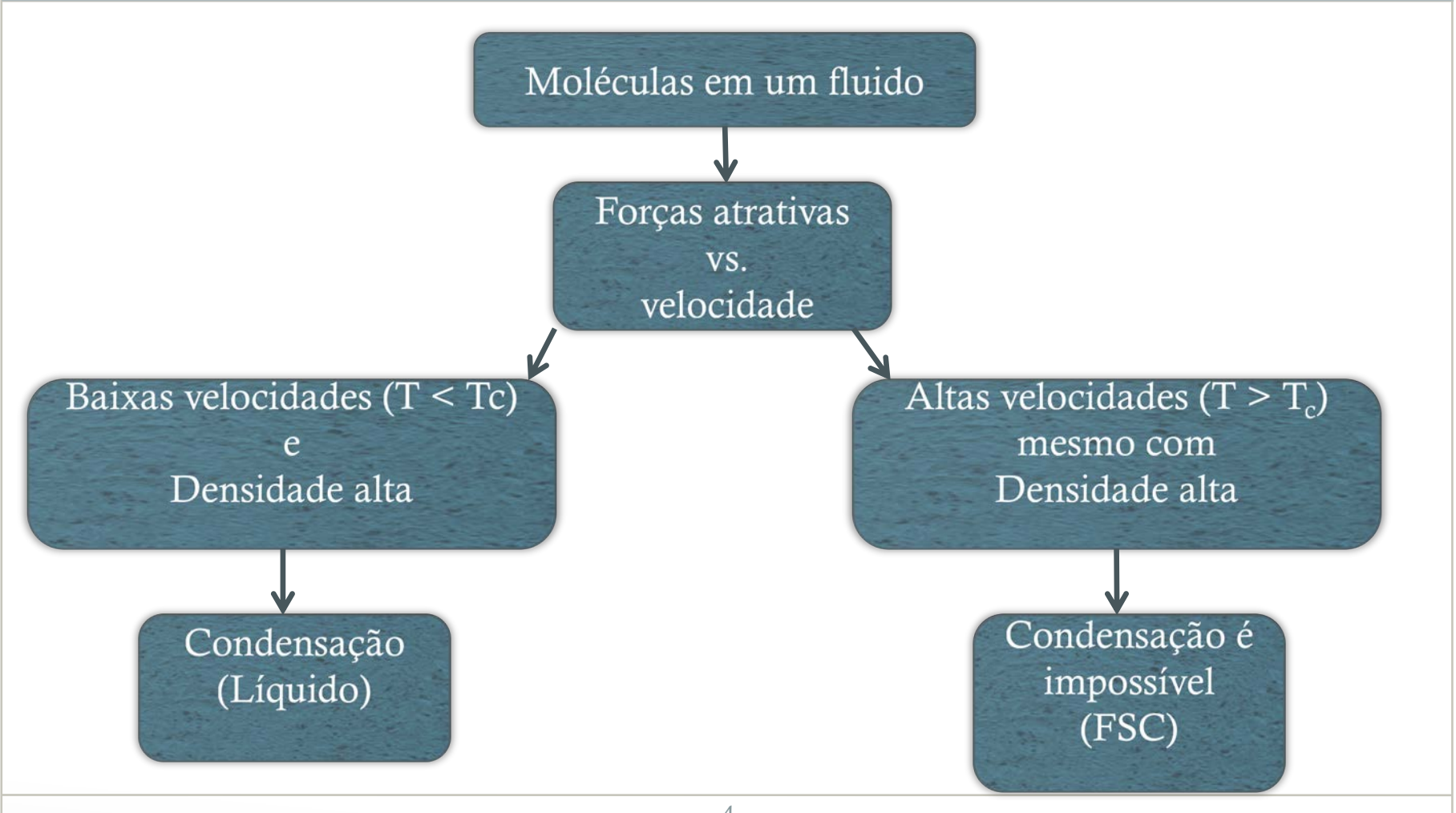
Prof. Dr. Renato S. Freire (rsfreire@iq.usp.br)

Tópicos

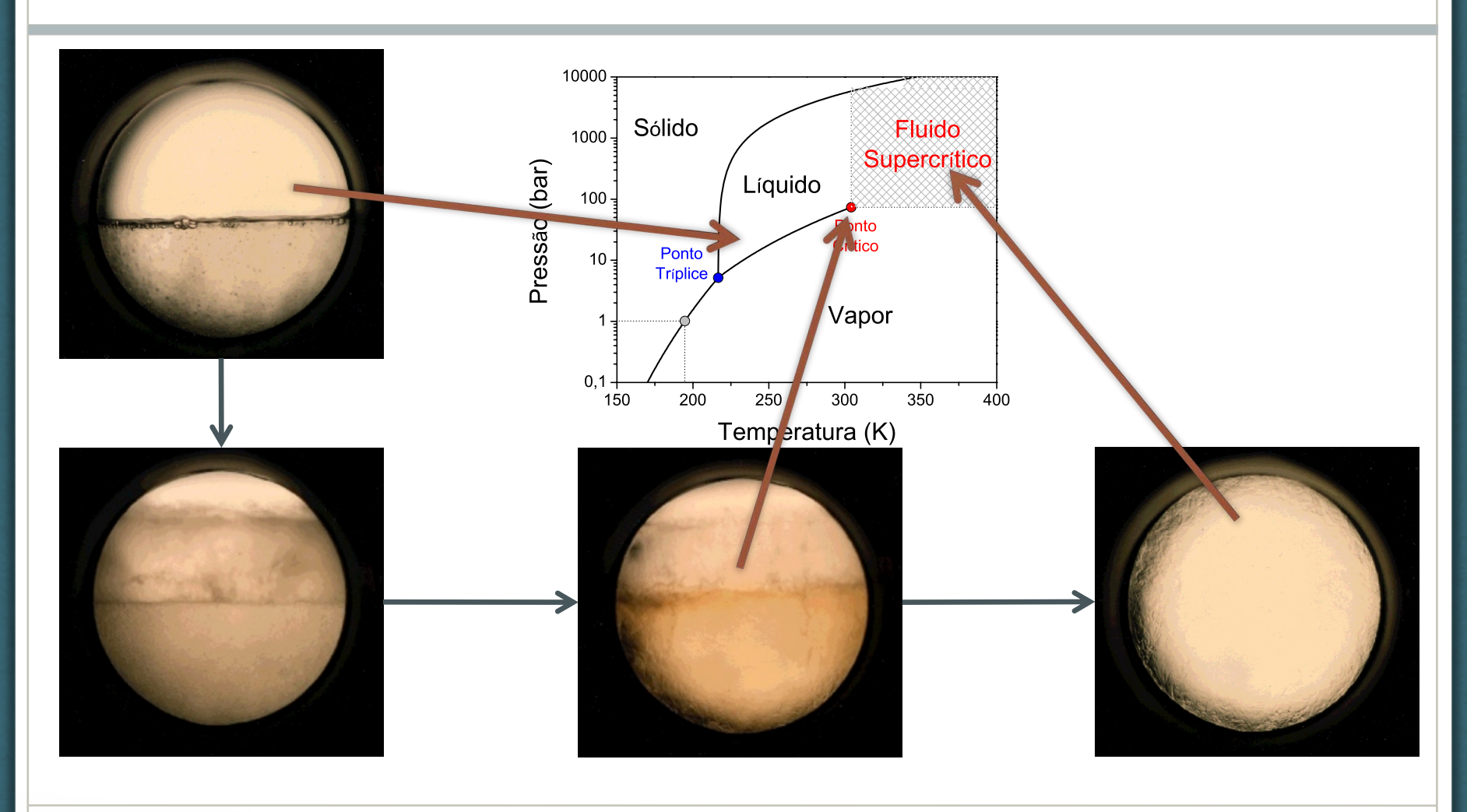
- Propriedades físicas e químicas do CO2 supercrítico;
- Reatividade em CO2 supercrítico:
 - fases líquidas expandidas em catálise;
 - química orgânica sintética;
 - catálise heterogênea;
 - catálise enzimática;
 - polimerização;
 - síntese de nanomateriais.

Propriedades Físicas Básicas dos FSC

O ponto crítico: visão molecular

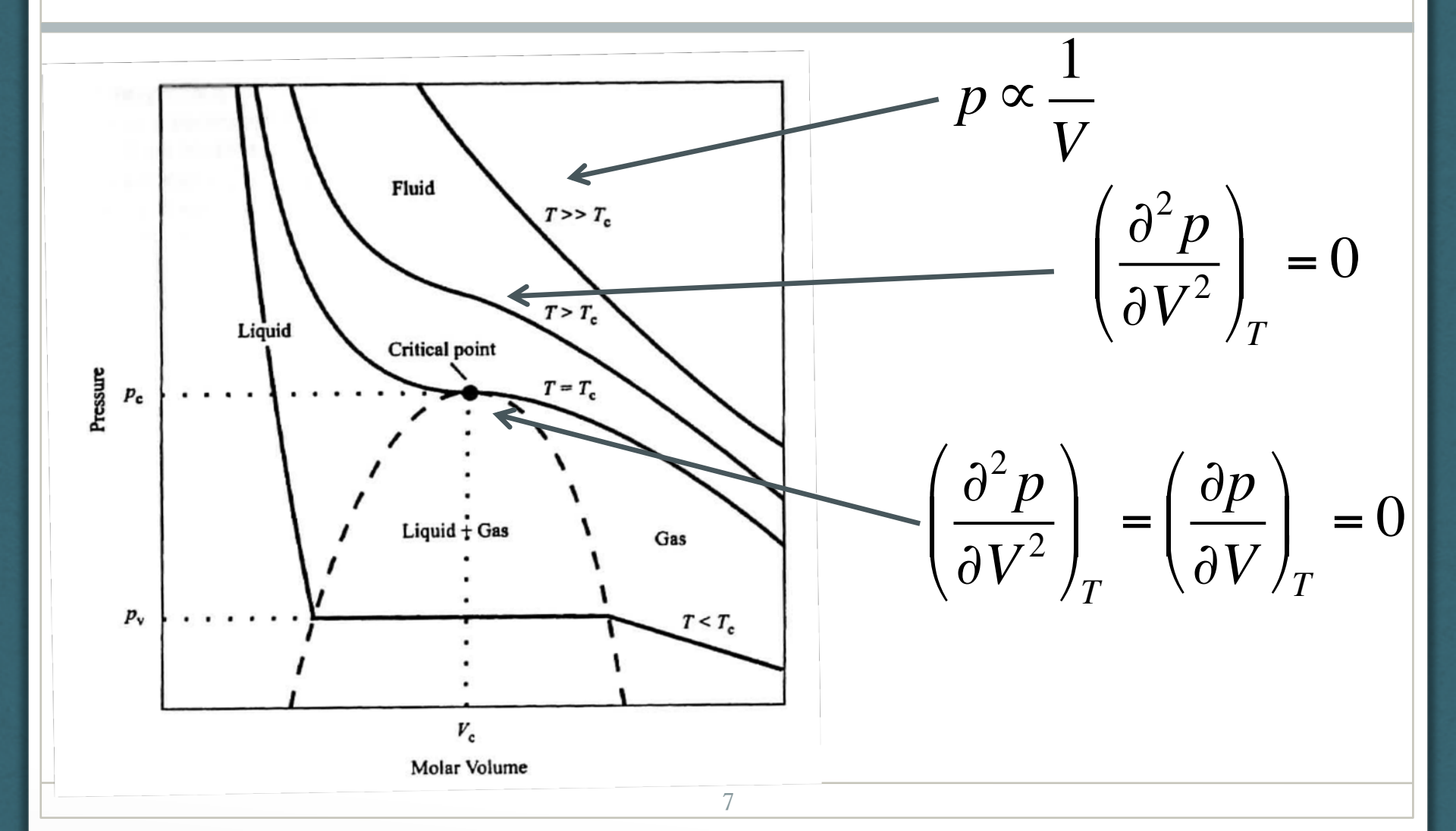


Ponto crítico para o CO₂-sc



Comportamento de Pressão – Volume – Temperatura para uma Substância Pura

Isotermas p vs. V_{molar}



Compressibilidade

• Compressibilidade isotérmica (κ_r) = tende a infinito no ponto crítico e é alta na região super ou subcrítica

$$\kappa_T = -\frac{1}{V} \left(\frac{\partial V}{\partial p} \right)_T$$

• Fator de compressão (Z)

$$Z = \frac{pV}{RT}$$

$$Z_c = \frac{p_c V_c}{RT_c} \cong 0,28$$

Equações de Estado

Funções Termodinâmicas de Estado

- Pressão (p)
- Volume molar (V)
- Temperatura (T)
- Compressibilidade isotérmica (κ_T)
- Fator de compressão (Z)
- Energia interna (U)
- Entalpia (H)

- Capacidade calorífica a V constante (C_V)
- Capacidade calorífica a p constante (C_p)
- Entropia (S)
- Função de Helmholtz (A)
- Função de Gibbs (G)

Equação de Estado

- O estado de um sistema em equilíbrio é definido por quaisquer dois desses valores;
- Comumente se usa o par $Ve\ T$ ou o par $pe\ T$
- Se o par de funções de estado é definido, as demais funções também o são.
- Pode-se, em princípio, escrever relações entre as funções, ou equações de estado, por exemplo:

$$p \equiv p_{(V,T)}$$

Equação de Estado

- Podem ser simples (Z = 1, equação para gases ideais);
- Podem ser complexas, obtidas pelo ajuste de dados experimentais

$$A(\rho,T)/(RT) = \phi(\delta,\tau) = \phi^{o}(\delta,\tau) + \phi^{r}(\delta,\tau)$$

where
$$\delta = \rho/\rho_c$$
 and $\tau = T_c/T$ with $\rho_c = 467.6$ kg/m³ and $T_c = 304.1282$ K.

Span, R.; Wagner, W.: A new equation of state for carbon dioxide covering the fluid region from the triple-point temperature to 1100 K at pressures up to 800 MPa. J. Phys. Chem. Ref. Data 1996, 25, 1509-1596.

Equação de Estado

$$A(\rho, T)/(RT) = \phi(\delta, \tau) = \phi^{o}(\delta, \tau) + \phi^{r}(\delta, \tau)$$

$$\phi^{r} = \sum_{i=1}^{4} \sum_{j=0}^{20} n_{i,j} \delta^{i} \tau^{j/4} + \sum_{i=1}^{6} \sum_{j=0}^{10} n_{i,j} \delta^{i} \tau^{j/2} e^{-\delta} + \sum_{i=1}^{8} \sum_{j=0}^{8} n_{i,j} \delta^{i} \tau^{j} e^{-\delta^{2}} + \sum_{i=1}^{8} \sum_{j=0}^{16} n_{i,j} \delta^{i} \tau^{j} e^{-\delta^{3}} + \sum_{i=1}^{10} \sum_{j=0}^{12} n_{i,j} \delta^{i} \tau^{2j} e^{-\delta^{4}} + \sum_{i=1}^{10} \sum_{j=0}^{16} n_{i,j} \delta^{i} \tau^{2j} e^{-\delta^{5}} + \sum_{i=8}^{15} \sum_{j=5}^{16} n_{i,j} \delta^{i} \tau^{2j} e^{-\delta^{6}} + \sum_{i=1}^{8} n_{i} \delta^{d_{i}} \tau^{i} e^{-\alpha_{i}(\delta - \epsilon_{i})^{2} - \beta_{i}(\tau - \gamma_{i})^{2}} + \sum_{i=1}^{3} \sum_{j=1}^{2} \sum_{k=1}^{3} \sum_{l=1}^{3} \sum_{m=1}^{3} n_{i,j,k,l} \Delta^{b_{j}} \delta^{e^{-C_{l}(\delta - 1)^{2} - D_{m}(\tau - 1)^{2}}$$

$$(6.4)$$

with $\Delta = \{(1-\tau) + A[(\delta-1)^2]^{1/(2\beta)}\}^2 + B_k[(\delta-1)^2]^{a_i}$

TABLE 30. Parameters of the nonanalytic terms in the bank of terms

| i,j,k,l,m | a_i | b_j | B_k | C_{I} | D_m | A^{a} | β^{a} |
|-----------|-------|-------|-------|---------|-------|---------|----------------------|
| ı | 3.00 | 0.875 | 0.30 | 10.00 | 225.0 | 0.700 | 0.300 |
| 2 | 3.50 | 0.925 | 1.00 | 12.50 | 250.0 | | |
| 3 | 4.00 | | | 15.00 | 275.0 | | |

^aPredetermined from a simultaneous fit to saturated liquid and vapor densities in the critical region.

Equações Viriais de Estado

$$p \equiv p_{(V,T)} \qquad A(T) = 1 \qquad \text{Interação termolecular}$$

$$\frac{P}{RT} = \frac{A(T)}{V} + \frac{B(T)}{V^2} + \frac{C(T)}{V^3} + \frac{D(T)}{V^4} \cdots$$

Gases diluídos

$$\frac{p}{RT} \approx \frac{1}{V} + \frac{B(T)}{V^2}$$
 $B(T) = -2\pi N_A \int_0^\infty r^2 \left\{ \exp[-V(r)/k_B T] - 1 \right\} dr$

B(T) < 0 a baixas temperaturas (atração > repulsão) B(T) > 0 a altas temperaturas (atração < repulsão)

Equação de Estado de van der Waals

• Para um único componente:

$$p = \frac{RT}{V - b} - \frac{a}{V^2}$$

• a e b são constantes (parâmetros de van der Waals). B é o volume excluído e a, um parâmetro de atração.

$$p_{\rm c} = a/27b^2$$
; $V_{\rm c} = 3b$ $T_{\rm c} = 8a/27Rb$

Equação de Estado de Peng-Robinson

• Para um único componente:

$$p = \frac{RT}{V - b} - \frac{a_{(T)}}{V^2 + 2Vb - b^2}$$

• a passa a ser função de T.

$$a_{(T_c)} = \frac{0.45724R^2T_c^2}{p_c}$$
 $b = \frac{0.07780RT_c}{p_c}$

$$V_c = 3,9514b$$
 $Z_c = 0,3074$
11% de discrepância para CO₂

Misturas Binárias: Comportamento de Fases

Dois tipos de misturas binárias

Componente 1 = fluido / Componente 2 = substância qualquer

• *Tipo 1* – componente 2 tem massa molar (MM) e temperatura crítica (T_c) próximas das do componente 1. O componente 2 é um "*agente modificador*" ou um *gás*.

• $Tipo\ 2$ – componente 2 tem massa molar (MM) e temperatura crítica (T_c) muito maiores que as do componente 1. O componente 2 é um "soluto".

Modificadores

| Substance | T _c (K) | $P_{\rm c}$ (bar) | ω | k ₁₂ |
|--------------------|--------------------|-------------------|-------|-----------------|
| Methanol | 513 | 81 | 0.556 | 0.110 |
| Ethanol | 514 | 61 | 0.644 | |
| 1-Propanol | 537 | 51 | 0.623 | |
| 2-Propanol | 508 | 48 | 0.665 | |
| 2-Butanol | 536 | 42 | 0.557 | |
| Acetone | 508 | 47 | 0.304 | |
| Acetonitrile | 546 | 48 | 0.327 | |
| Acetic acid | 593 | 58 | 0.447 | |
| Diethyl ether | 467 | 36 | 0.281 | 0.047 |
| Dichloromethane | 510 | 63 | 0.199 | |
| Chloroform | 536 | 54 | 0.218 | |
| Hexane | 508 | 30 | 0.299 | 0.110 |
| Benzene | 562 | 49 | 0.212 | 0.077 |
| Toluene | 592 | 41 | 0.263 | 0.106 |
| Tributyl phosphate | 742 | 24 | 0.850 | |

Duas Classes de Comportamento de Fase

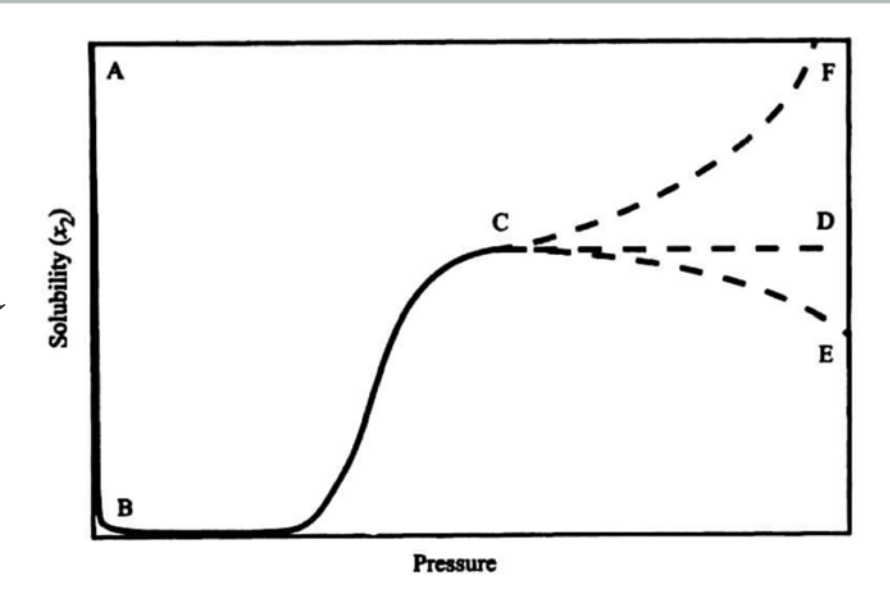
• Classe 1 – para as misturas do Tipo 1 (componente 2 = gás ou agente modificador). Há uma linha crítica contínua entre P_{c1} e P_{c2} .

• Classe 2 – para as misturas do Tipo 2 (componente 2 = soluto). A linha crítica não é contínua entre P_{c1} e P_{c2} .

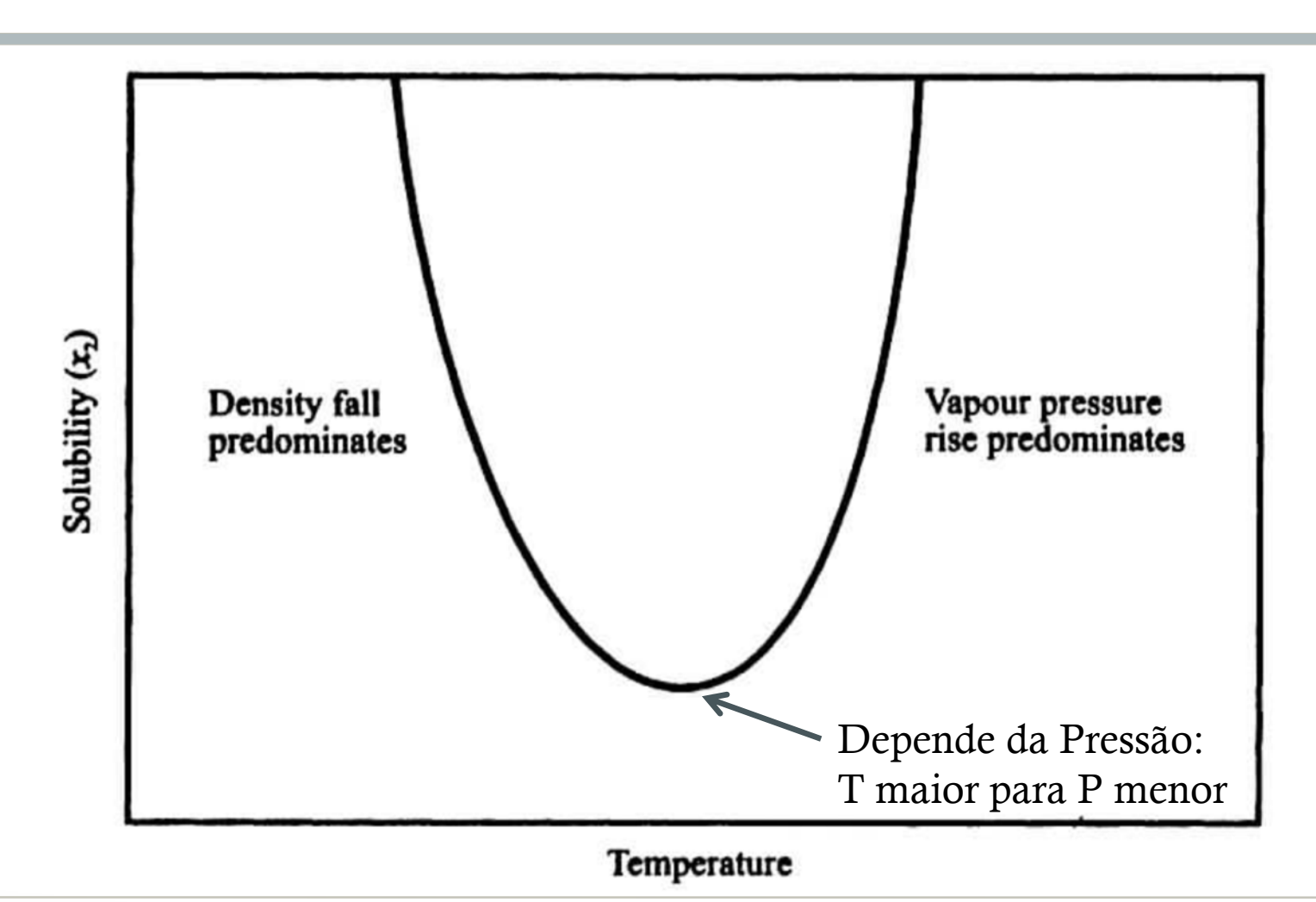
Misturas Binárias: Solubilidade de Solutos não voláteis

Solubilidade vs. Pressão em FSC

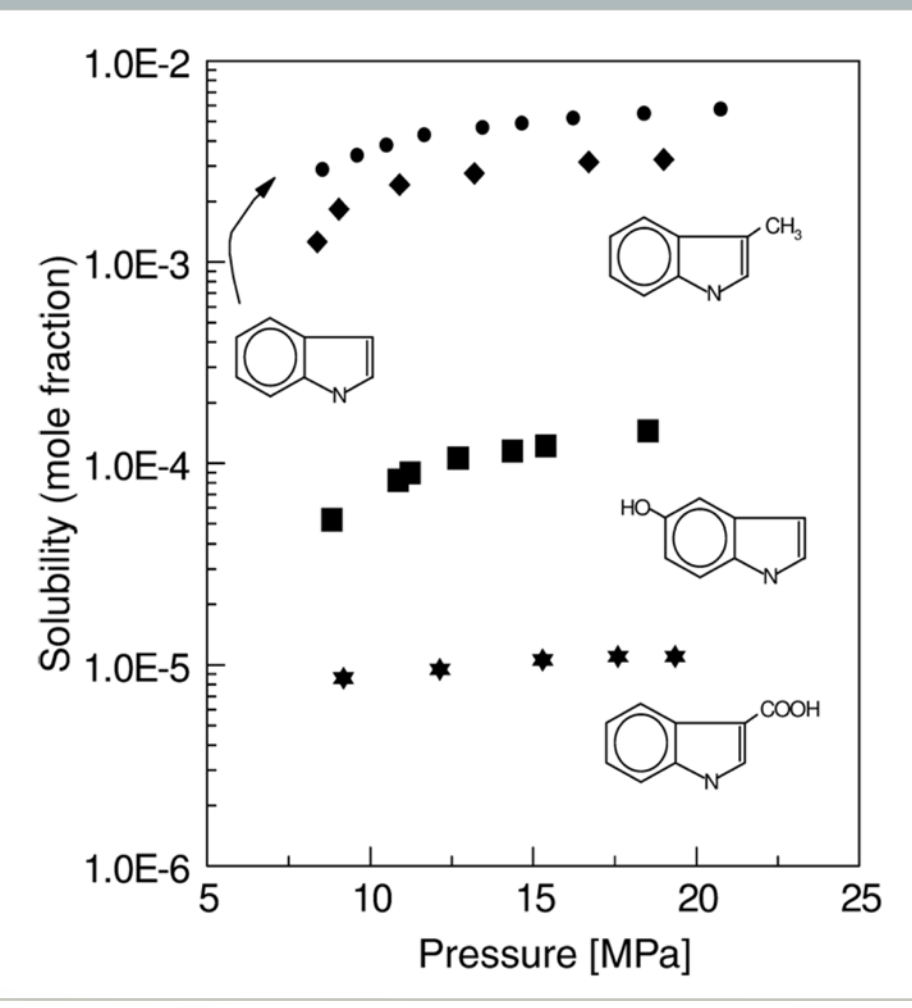
- Linha AB em baixas pressões, solubilidade cai;
- *Linha BC* com aumento da pressão, solubilidade vai aumentando (solvatação);
- Linha CD, CE ou CF dependem do balanço repulsão-atração;
- *Linha CF* presença de linha crítica.



Solubilidade vs. Temperatura em FSC



Efeito de Grupos Funcionais na Solubilidade em sc-CO₂



 Grupos polares reduzem solubilidade